

Ю. И. КЛИМНЮК, А. П. КОМАРОВ

ПРИБЛИЖЕННЫЙ МЕТОД РАСЧЕТА ХАРАКТЕРИСТИК ПЛОСКОГО ПОЛУСВОБОДНОГО СЛЕДА

ПРИНЯТЫЕ ОБОЗНАЧЕНИЯ

u — скорость вдоль оси X ;

v — скорость вдоль оси Y ;

$u_{\text{осн.п}}$ — скорость на внешней границе следа (скорость основного потока),

$u_{\text{мин}}$ — скорость на внутренней границе следа;

λ — коэффициент скорости;

T_0 — температура заторможенного потока;

δ — толщина следа (ограниченная стружкой тока, выше которой поток можно рассматривать как поток идеальной жидкости, либо осью свободного следа, либо стенкой в случае полусвободного следа);

δ^* , δ^{**} , δ^{***} — толщины вытеснения, потери импульса и потери энергии;

H^0 , H , H^{00} — коэффициенты формы профиля скорости в следе;

K , K^* , K^{**} , K^{***} — коэффициенты изменения условных толщин следа,

$l_{\text{п}}$ — длина пути турбулентного перемешивания;

P — статическое давление;

ρ — статическая плотность;

$\frac{u_{\text{мин}}}{u_{\text{осн.п}}}$ — отношение скорости на внутренней границе следа к скорости основного потока;

$\frac{l}{\delta}$ — отношение линейного размера к толщине следа.

В [2] предложен метод расчета задач свободной турбулентности следа и струи (след см. рис. 1) при наличии продольного градиента давления. Представляет также определенный интерес решение задач полусвободной турбулентности, в которых ось струи или следа совпадает с тонкой пластинкой (рис. 1). К такой задаче может быть сведена задача расчета интегральных характеристик

потока за прямым скачком уплотнения в области его взаимодействия с пограничным слоем на пластине. задача расчета течения в двухрядной компрессорной решетке в том случае, когда след от лопатки первого ряда попадает на лопатку второго ряда, а также ряд других инженерных задач.

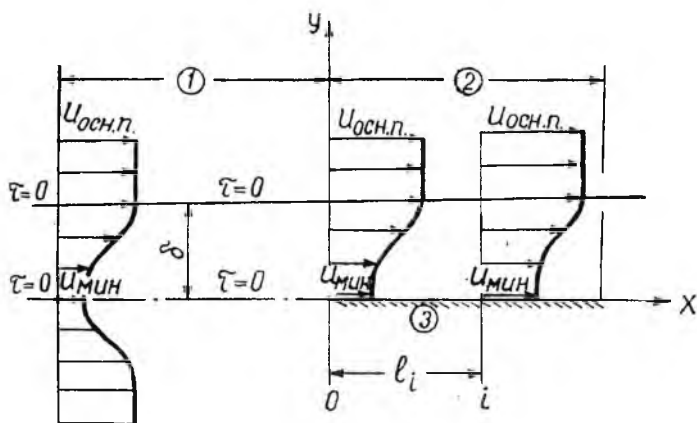


Рис. 1. Схема основных размеров и обозначений плоского полусвободного следа:

1 — свободный турбулентный след; 2 — полусвободный турбулентный след; 3 — стенка.

Целью данной статьи является определение интегральных характеристик полусвободного следа в дозвуковом потоке с продольным градиентом давления.

При определении в рассматриваемом сечении интегральных толщин полусвободного следа пренебрегаем влиянием пограничного слоя, возникающего на ограничивающей стенке, и полагаем, что параметры следа (δ , δ^* , δ^{**} , δ^{***} и $u_{\text{мин}}$) в исходном сечении $0-0$, а также изменение скорости на внешней границе следа (в основном потоке) известны. Случай, когда в турбулентном следе имеют место обратные течения, не рассматривается.

Метод, использованный в данной статье, аналогичен методу [2], применяемому к задачам свободной турбулентности при наличии продольного градиента давления. Основное отличие задач, рассмотренных в [2] и в данной статье, заключается в том, что для свободной турбулентности длина пути турбулентного перемешивания $l_{\text{п}}$ постоянна во всех точках поперечного сечения, тогда как для полусвободной турбулентности она зависит от расстояния рассматриваемой точки до ограничивающей поверхности. Аналогично методу [2], профиль касательного напряжения в полусвободном следе аппроксимируется полиномом, коэффициенты которого определяются из граничных условий при помощи дифференциальных уравнений движения. Выражение для профиля касательного на-

пряжения в совокупности с той или иной формулой для турбулентного трения позволяет замкнуть задачу и определить профиль скорости и затем характерные толщины полусвободного следа.

Уравнения осредненного плоского турбулентного движения в следе при наличии продольного градиента давления могут быть представлены в виде [1]:

$$u \frac{\partial u}{\partial x} + v \frac{\partial v}{\partial y} = u_{\max} \frac{du_{\max}}{dx} + \frac{1}{\rho} \cdot \frac{\partial \tau}{\partial y}, \quad (1)$$

$$\frac{\partial u}{\partial x} + \frac{\partial v}{\partial y} = 0,$$

где τ — касательное напряжение трения между струями осредненного течения.

Для плоского полусвободного следа (фиг. 1) имеем граничные условия:

1. $\bar{y} = 0, \tau = 0,$
2. $\bar{y} = 1, \tau = 0, \left(\bar{y} = \frac{y}{\delta}\right)$
3. $\bar{y} = 0, v = 0 \left(\frac{\partial \tau}{\partial y}\right)_0 = \partial \rho \left(u_{\min} \frac{du_{\min}}{dx} - u_{\max} \frac{du_{\max}}{dx}\right),$
4. $\bar{y} = 0, u = u_{\min} = f_1(x, u_{\max}),$
5. $\bar{y} = 1, u = u_{\max} = f_2(x).$

Касательное напряжение в турбулентном потоке определяется уравнением

$$\tau = \rho \cdot \bar{l}_{\Pi}^2 \left(\frac{\partial u}{\partial y}\right)^2. \quad (3)$$

Зависимость длины пути перемешивания \bar{l}_{Π} от \bar{y} в полусвободном следе будет аналогична зависимости \bar{l}_{Π} в турбулентном пограничном слое.

Длина пути турбулентного перемешивания в пограничном слое согласно [6] подчиняется соотношениям:

$$\bar{l}_{\Pi} = k_0 \cdot \bar{y} \quad (\text{при } \bar{y} < 0,2), \quad (4)$$

$$\bar{l}_{\Pi} = k_0 = \text{const} \quad (\text{при } \bar{y} > 0,2). \quad (5)$$

Приближенно закон изменения длины пути перемешивания в сечении турбулентного пограничного слоя получим, аппроксимируя плавной кривой значения длины пути перемешивания для внутренней и внешней областей пограничного слоя, определяемых (4) и (5), например, зависимостью

$$\bar{l}_{\Pi} = k_1 \cdot \sqrt{\bar{y}}. \quad (6)$$

Определив длину пути перемешивания формулой (4), получим

закон сопротивления плоской пластины в безградиентном потоке [3]

$$Z = k_0 \cdot \frac{u}{\sqrt{\frac{\tau_0}{\rho}}} = k_0 \cdot \alpha - \ln \alpha - 0,5 + \ln \left(\frac{\delta}{u} \sqrt{\frac{\tau_0}{\rho}} \right). \quad (7)$$

Закон сопротивления (7) получен путем приравнивания скорости на внешней границе ламинарного подслоя скорости в самом ламинарном подслое.

Для зависимости длины пути перемешивания по формуле (6) также легко получить закон сопротивления плоской пластины в безградиентном потоке

$$Z = k_0 \cdot \frac{u}{\sqrt{\frac{\tau_0}{\rho}}} = \frac{8}{5} \cdot \frac{k_0}{k_1} + \ln \left(\frac{\delta}{u} \sqrt{\frac{\tau_0}{\rho}} \right). \quad (8)$$

Закон сопротивления (8) получен при совместном решении формулы (3) и формулы (3.4) работы [3] на внешней границе турбулентного пограничного слоя.

Закон сопротивления (7) хорошо подтверждается экспериментом [3]. Коэффициенты k_0 и α , входящие в формулу (7), являются универсальными константами, не зависящими от числа Рейнольдса и продольного градиента давления. На основании многочисленных опытов показано, что с достаточной для практических целей точностью можно принять [3] $k_0 = 0,4$ и $\alpha = 11,5$.

Коэффициент k_1 определим, приравняв правые части (7) и (8)

$$k_1 = \frac{\frac{8}{5} k_0}{k_0 \cdot \alpha - \ln \alpha - 0,5} = 0,385. \quad (9)$$

Тогда (6) примет вид

$$\bar{l}_\Pi = 0,385 \cdot \sqrt{y}.$$

Коэффициент k_1 так же, как и k_0 и α , является универсальной константой, не зависящей от числа Рейнольдса и продольного градиента давления.

Примем, что в плоском полусвободном следе зависимость касательного напряжения подчиняется формуле (3). Следуя методу Трубочикова [2] и [4], преобразовываем (3) с учетом (6)

$$\tau = \rho \cdot k_1^2 \cdot \bar{y} (u_{\max} - u_{\min}) \frac{\partial u}{\partial y}. \quad (10)$$

Соотношение для касательного напряжения, удовлетворяющее граничным условиям плоского полусвободного турбулентного следа, записывается в виде полинома

$$\tau = b_0 + b_1 \cdot \bar{y} + b_2 \cdot \bar{y}^2, \quad (11)$$

где коэффициенты b_0 , b_1 и b_2 определяются из граничных условий (2), откуда:

$$\tau = \left(\frac{d\tau}{dy} \right)_0 \cdot (\bar{y} - \bar{y}^2) = \left(\frac{d\tau}{dy} \right)_0 \cdot f_3(\bar{y}), \quad (12)$$

$$f_3(\bar{y}) = \bar{y} - \bar{y}^2. \quad (13)$$

Приравнявая (10) и (12), получаем зависимость

$$-\delta \cdot f_3(\bar{y}) \left[u_{\max} \frac{du_{\max}}{dx} - u_{\min} \frac{du_{\min}}{dx} \right] = k_1^2 (u_{\max} - u_{\min}) \bar{y} \frac{\partial u}{\partial y}. \quad (14)$$

После преобразования, введения обозначения

$$f_4(x) = -\frac{d}{dx} \left(\frac{u_{\max}^2 - u_{\min}^2}{2} \right) = -\frac{1}{2} \frac{d(u_{\max}^2 - u_{\min}^2)}{dx} \quad (15)$$

и интегрирования, находим

$$u - u_{\min} = \frac{\delta f_4(x)}{k_1^2 (u_{\max} - u_{\min})} \cdot \int_0^{\bar{y}} \frac{f_3(\bar{y})}{\bar{y}} d\bar{y}. \quad (16)$$

На внешней границе следа имеем

$$u_{\max} - u_{\min} = \frac{\delta f_4(x)}{k_1^2 (u_{\max} - u_{\min})} \cdot \int_0^1 \frac{f_3(y)}{y} d\bar{y}. \quad (17)$$

Поделив (16) на (17), получим форму профиля скорости в плоском полусвободном следе, зависящую только от ординаты:

$$\begin{aligned} \frac{u - u_{\min}}{u_{\max} - u_{\min}} &= \\ &= \left[\int_0^{\bar{y}} \frac{f_3(\bar{y})}{\bar{y}} d\bar{y} \right] : \left[\int_0^1 \frac{f_3(\bar{y})}{\bar{y}} d\bar{y} \right] = \\ &= F(\bar{y}), \quad (18) \end{aligned}$$

или, разрешая (18) относительно u :

$$\begin{aligned} \bar{u} = \frac{u}{u_{\max}} &= u_{\min} + F(\bar{y}) \cdot [1 - \\ &- u_{\min}]. \quad (19) \end{aligned}$$

Соотношениями (18), (19)

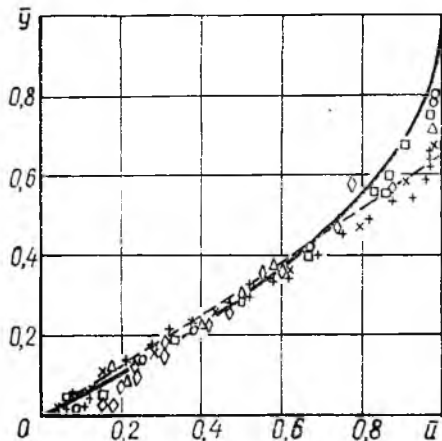


Рис. 2. Профиль скорости в плоском полусвободном следе при отрыве турбулентного пограничного слоя из-за посадки скорости:

- | | | |
|----------|----------------------------|-------------------|
| — | расчетный профиль скорости | } Эксперимент (8) |
| + | модель крыла | |
| O | профиль | |
| \Delta | модель крыла | |
| \square | модель крыла | |
| \diamond | диффузор | |
| \times | диффузор. | |

определяется универсальный безразмерный профиль скорости для плоского полусвободного следа, который аналогично профилю для следа в спутном потоке [2] не зависит от продольного градиента давления и числа Рейнольдса. Продольный градиент давления будет сказываться лишь на законе изменения скорости $u_{\text{мин}}$ и толщины следа вдоль оси X .

Функция $f_3(\bar{y})$, удовлетворяющая граничным условиям, определяется выражением (13), при этом функция $F(y)$ равна

$$F(\bar{y}) = 2\bar{y} - \bar{y}^2. \quad (20)$$

На рис. 2 проведено сравнение профиля скорости (19) с экспериментальным профилем в точке отрыва. Как видно из рисунка, расчетный профиль скорости (19) удовлетворительно подтверждается экспериментальными точками.

Используя универсальный профиль скорости (19), можно определить характерные толщины плоского полусвободного следа в виде функции от $u_{\text{мин}}$.

В общем случае интегральные толщины следа определяются соотношениями:

$$\begin{aligned} \frac{\delta^*}{\delta} &= \int_0^1 (1 - \bar{\rho} \bar{u}) d\bar{y} = 1 - \int_0^1 \bar{\rho} \bar{u} d\bar{y}, \\ \frac{\delta^{**}}{\delta} &= \int_0^1 (1 - \bar{u}) \bar{\rho} \bar{u} d\bar{y} = \int_0^1 \bar{\rho} \bar{u} d\bar{y} - \int_0^1 \bar{\rho} \bar{u}^2 d\bar{y}, \\ \frac{\delta^{***}}{\delta} &= \int_0^1 (1 - \bar{u}^2) \bar{\rho} \bar{u} d\bar{y} = \int_0^1 \bar{\rho} \bar{u} d\bar{y} - \int_0^1 \bar{\rho} \bar{u}^3 d\bar{y}. \end{aligned}$$

В турбулентном пограничном слое при условиях:

$$\frac{\partial \rho}{\partial y} = 0, \quad (21)$$

$$\frac{\partial T_0}{\partial y} = 0 \quad (22)$$

зависимость ρ по сечению пограничного слоя записывается следующим образом [1]:

$$\bar{\rho} = \frac{\rho}{\rho_{\text{осн. п}}} = \frac{T_{\text{осн. п}}}{T} = \frac{1-a}{1-a\bar{u}^2}, \quad (23)$$

$$a = \frac{k-1}{k+1} \cdot \lambda^2. \quad (24)$$

Используем и для плоского полусвободного следа условия (21), (22) и зависимость ρ по (23). Соотношение (23) после разложения в ряд приобретает вид

$$\bar{\rho} = (1-a)(1 + a\bar{u}^2 + a^2\bar{u}^4 + a^3\bar{u}^6 + a^4\bar{u}^8 + \dots), \quad (25)$$

позволяющий при интегрировании получить одни и те же формулы как для несжимаемого, так и сжимаемого газа.

Произведя замену переменных

$$1 - \bar{y} = \zeta,$$

$$d\bar{y} = -d\zeta,$$

преобразовываем (19) с учетом (20) к виду

$$\bar{u} = 1 - \zeta^2(1 - \bar{u}_{\text{мин}})$$

и далее, интегрируя соотношения для характерных толщин, получаем после некоторых упрощений и преобразований выражения для коэффициентов формы профиля скорости в следе:

$$H^0 = \frac{\delta}{\delta^*} = \frac{3}{(1 - \bar{u}_{\text{мин}})[1 + 0,5a(1 + \bar{u}_{\text{мин}})]}, \quad (26)$$

$$H = \frac{\delta^*}{\delta^{**}} = \frac{2,5[1 + 0,5a(1 + \bar{u}_{\text{мин}})]}{(1 + 1,5\bar{u}_{\text{мин}})[1 + 0,7a(\bar{u}_{\text{мин}}^2 - 1)]}, \quad (27)$$

$$H^{00} = \frac{\delta^{**}}{\delta^{***}} = \frac{2}{3} \cdot \frac{1 + 1,5\bar{u}_{\text{мин}}}{(1 + \bar{u}_{\text{мин}})^2}. \quad (28)$$

Так как при дозвуковых скоростях основного потока в соотношениях H^0 , H и H^{00} члены, содержащие коэффициент «а» во второй и больших степенях, незначительны по величине, то ими можно пренебречь.

Степень изменения толщин следа в рассматриваемом сечении относительно толщин некоторого исходного сечения будем называть коэффициентами изменения толщин:

$$K = \frac{\delta_i}{\delta_1}, \quad (29)$$

$$K^* = \frac{\delta_i^*}{\delta_1^*} = K \cdot \frac{H_1^0}{H_i^0}, \quad (30)$$

$$K^{**} = \frac{\delta_i^{**}}{\delta_1^{**}} = K^* \cdot \frac{H_1}{H_i}, \quad (31)$$

$$K^{***} = \frac{\delta_i^{***}}{\delta_1^{***}} = K^{**} \cdot \frac{H_1^{00}}{H_i^{00}}. \quad (32)$$

Коэффициенты формы профиля скорости и изменения толщин следа вдоль оси X известны, если известны величина $\bar{u}_{\text{мин}}$ и один из коэффициентов изменения толщин K , K^* , K^{**} , K^{***} . При этом изменение скорости на внешней границе следа также считается известным. Зависимость изменения коэффициента K^{**} при переходе

от некоторой исходной точки (точки отрыва) до рассматриваемой точки определяется формулой [1]

$$K^{**} = \frac{\delta_i^{**}}{\delta_1^{**}} = \frac{\rho_1}{\rho_i} \left(\frac{u_{\max 1}}{u_{\max i}} \right)^{2+0,5(N_1+N_i)}$$

Так как рассматривается теплоизолированное течение в следе, то (22)

$$K^{**} = \frac{\rho_1}{\rho_i} \left(\frac{\lambda_1}{\lambda_i} \right)^{2+0,5(N_1+N_i)} \quad (33)$$

Изменение величины $u_{\min i}$ в зависимости от продольного градиента скорости и величины расстояния между точкой отрыва и текущей точкой можно найти при подстановке текущей толщины следа δ_i в (17) с учетом (13) и (15)

$$\frac{d}{dx} (u_{\max i}^2 - u_{\min i}^2) = -4 \frac{k_1^2}{\delta_i} (u_{\max i} - u_{\min i})^2. \quad (34)$$

Текущую толщину следа δ_i можно выразить следующим образом:

$$\delta_i = \delta_1^* \cdot K^{**} \cdot N_i^0 \cdot \frac{N_i}{N_1}. \quad (35)$$

После подстановки в (35) выражений (33), (26) и (27) и разделения членов с \bar{u}_{\min} и содержащих влияние сжимаемости (λ , a), получаем выражение для δ_i :

$$\delta_i = 3\delta_1^* \cdot \frac{\rho_1}{\rho_i} \left(\frac{\lambda_1}{\lambda_i} \right)^{2+0,5(N_1+N_i)} \cdot \frac{1+1,5\bar{u}_{\min 1}}{(1-\bar{u}_{\min i})(1+1,5\bar{u}_{\min i})} \cdot \Pi_i, \quad (36)$$

$$\Pi_i = \frac{1+0,7a_1 (\bar{u}_{\min 1}^2 - 1)}{[1+0,7a_1 (\bar{u}_{\min i}^2 - 1)] \cdot [1+0,5a_1 (1+\bar{u}_{\min i})^2]}.$$

Для несжимаемой жидкости величина Π_i равна единице и не зависит от \bar{u}_{\min} . Для сжимаемой жидкости при дозвуковых скоростях основного потока величина Π_i близка к единице и слабо меняется с изменением \bar{u}_{\min} . Поэтому примем в дальнейших выкладках выражения (36) эту величину равной среднему значению:

$$\Pi_i = \Pi_{\text{ср}} = 0,5(\Pi_1 + \Pi_2),$$

$$\Pi_{\text{ср}} = 0,5 \cdot \frac{[1+0,7a_1 (\bar{u}_{\min 1}^2 - 1)] + [1+0,7a_2 (\bar{u}_{\min 2}^2 - 1)]}{[1+0,5a_1 (1+\bar{u}_{\min 1})^2] \cdot [1+0,7a_2 (\bar{u}_{\min 2}^2 - 1)]}. \quad (37)$$

В выражении (36) функция $0,5(N_1 + N_i)$, входящая в показатель степени члена $\left(\frac{\lambda_1}{\lambda_i} \right)^{2+0,5(N_1+N_i)}$, меняется в пределах от 2 до 3. В связи с тем, что изменение этой функции в таком диапазоне слабо сказывается на конечном результате решения, примем в дальнейших выкладках выражения (36) эту функцию равной среднему значению $0,5(N_1 + N_i) \approx 2,5$.

При принятых допущениях выражение для δ_i запишется следующим образом:

$$\delta_i = 3\delta_1^* \cdot \frac{\rho_1}{\rho_i} \left(\frac{\lambda_1}{\lambda_i} \right)^{4,5} \cdot \frac{1 + 1,5\bar{u}_{\min i}}{(1 - \bar{u}_{\min i}) \cdot (1 + 1,5\bar{u}_{\min i})} \cdot P_{\text{ср}} \quad (38)$$

После подстановки (38) в (34) и преобразований получаем

$$\frac{d}{dx} (u_{\max i}^2 - u_{\min i}^2) = -\frac{4}{3} \cdot \frac{k_1^2}{\delta_1^*} \cdot \frac{\rho_i}{\rho_1} \left(\frac{\lambda_i}{\lambda_1} \right)^{4,5} \cdot u_{\max i}^2 \times \\ \times (1 - \bar{u}_{\min i})^3 \cdot \frac{1 + 1,5\bar{u}_{\min i}}{1 + 1,5\bar{u}_{\min i}} \cdot P_{\text{ср}}$$

Функцию $(1 - \bar{u}_{\min i})^3 \cdot (1 + 1,5\bar{u}_{\min i})$ аппроксимируем приближенным выражением

$$(1 - \bar{u}_{\min i})^3 \cdot (1 + 1,5\bar{u}_{\min i}) \approx (1 - \bar{u}_{\min i}^2)^5 = \frac{(u_{\max i}^2 - u_{\min i}^2)^5}{u_{\max i}^{10}}$$

После введения новой переменной $z = u_{\max i}^2 - u_{\min i}^2$, преобразований и интегрирований с учетом того что приведенный интеграл приближенно равен

$$\int_0^l \frac{\rho_i}{\rho_1} \left(\frac{\lambda_1}{\lambda_i} \right)^{3,5} \cdot dx \approx 0,5l \left[1 + \frac{\rho_2}{\rho_1} \left(\frac{\lambda_1}{\lambda_i} \right)^{3,5} \right],$$

получаем выражение для скорости на внутренней границе плоского полусвободного следа

$$\bar{u}_{\min 2} = \sqrt{1 - \left(\frac{\lambda_1}{\lambda_2} \right)^2 \frac{1 - \bar{u}_{\min 1}^2}{\sqrt[4]{1 + \frac{2}{3} k_1^2 \frac{l}{\delta_1^*} \frac{(1 - \bar{u}_{\min 1})^2}{1 + \bar{u}_{\min 1}} \left[1 + \frac{\rho_2}{\rho_1} \left(\frac{\lambda_1}{\lambda_2} \right)^{3,5} \right] \cdot P_{\text{ср}}}}} \quad (39)$$

Соотношением (39) устанавливается изменение скорости на внутренней границе плоского полусвободного (без обратных токов) следа в зависимости от продольного градиента скорости, скорости в исходной точке и расстояния от исходной точки в калибрах исходной толщины следа. После определения u_{\min} в рассматриваемом сечении по (26) — (32) рассчитываются все характеристики следа. Вследствие независимости профиля скорости в следе от числа Рейнольдса, следует вывод и о независимости от числа Рейнольдса полученных характеристик следа.

Таким образом, в данной работе получен метод расчета характеристик полусвободного следа как для несжимаемого, так и сжимаемого газа.

ЛИТЕРАТУРА

1. Л. Г. Лойцянский, Механика жидкости и газа. Госиздат Т. Т. Л. 1950.

2. А. С. Гниевский. Турбулентный след и струя в спутном потоке при наличии продольного градиента давления. «Известия Академии наук СССР». ОТН. Механика и машиностроение, № 2, стр. 31, 1959.

3. С. А. Довжик. Профилирование лопаток осевого дозвукового компрессора. ЦАГИ. Промышленная аэродинамика, выпуск 11. Обогонгиз, 1958.

4. Б. Я. Трубочников. Тепловой метод измерения турбулентности в аэродинамических трубах. Тр. ЦАГИ, выпуск 372, 1938.

5. Хилл, Шауб, Сепу. Влияние градиента давлений на турбулентный спутный след. «Прикладная механика» № 4, стр. 50. Труды америк. общ. инженеров-механиков. Рус. пер., изд. «Мир», 1963.

6. В. М. Мищенко. Турбулентный пограничный слой на профиле в решетке. Техническая гидрогазодинамика. Труды ЛПИ № 248. Машиностроение, 1965.

7. Г. Ю. Степанов. Гидродинамика решеток турбомашин. Гос. издат., физ.-мат. литер., 1962.

8. Г. М. Бам-Зеликович. Расчет отрыва пограничного слоя. «Известия АН СССР», ОТН, № 12, стр. 68. Издат. АН СССР, 1954.
